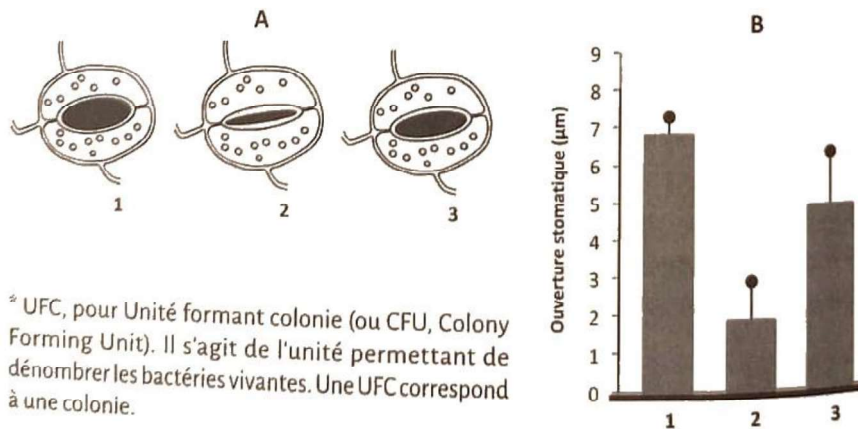


## Deuxième partie – Degré d'ouverture des stomates chez les Angiospermes en fonction de différents facteurs

### ■ Document 1 : variations d'ouverture de stomates d'épiderme de tomate en fonction de différents traitements

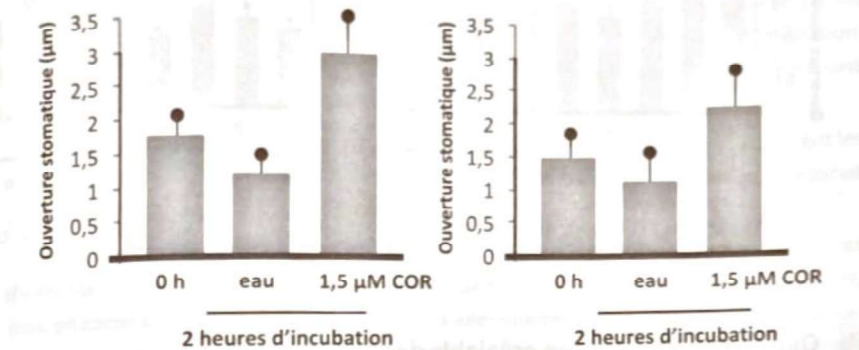
Des fragments d'épiderme de tomate ont été mis en contact avec une solution tampon (KCl 30 mM, pH 6,3) (1), avec une solution contenant des bactéries *Pseudomonas syringae* pv. *tabaci*, responsables de la maladie du feu sauvage chez les tomates ( $5 \times 10^4$  UFC\*/ml), sans coronatine (2) ou avec coronatine (100 ng/ml) (3).

Des images ont été prises 1 heure après le contact à l'aide d'un microscope optique et les ouvertures stomatiques individuelles ont été dessinées (A) et mesurées (B). Environ 50 stomates ont été comptés pour chaque fragment épidermique, et trois fragments d'épiderme ont été utilisés pour l'analyse de chaque traitement.



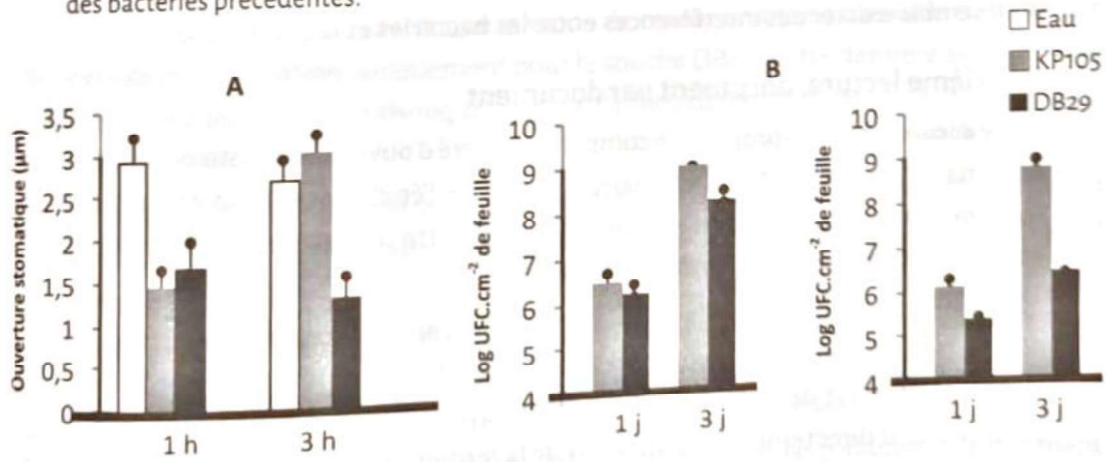
### ■ Document 2 : effets de la coronatine sur l'ouverture des stomates

Largeur d'ouverture stomatique de fragments de feuille d'*Arabidopsis thaliana* (à gauche) ou de feuilles intactes (à droite) incubés avec de la coronatine purifiée (COR).



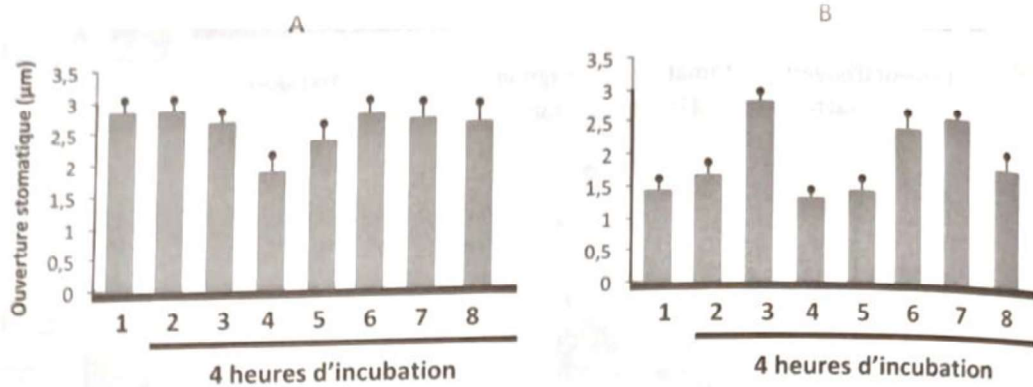
### Document 3 : ouverture stomatique et infection

(A) Largeur d'ouverture stomatique dans des fragments épidermiques d'*Arabidopsis* exposés à l'eau, ou au *Pseudomonas syringae* pv. *tabaci* (Pst) KP105 (de type sauvage) ou Pst DB29 (mutant déficient en COR). (B) Énumération bactérienne dans l'apoplasme des plantes 1 et 3 jours après inoculation par immersion (graphique de droite) ou infiltration sous vide (graphique de gauche) des bactéries précédentes.



### Document 4 : ouverture stomatique, infection et luminosité

Le graphique montre l'ouverture stomatique dans les feuilles d'*Arabidopsis* intactes 4 h après inoculation par immersion avec une suspension bactérienne (Pst DC3000, Pst DB29 et Pst DC3118) avec ou sans COR à la lumière blanche (A) ou à l'obscurité (B).



1: 0 h; 2: eau; 3: DC3000; 4: DB29; 5: DC3118; 6: 1,5  $\mu\text{M}$  COR; 7: DC3118 + 1,5  $\mu\text{M}$  COR; 8: DB29 + 1,5  $\mu\text{M}$  COR.